

课程: 极小曲面

draft version

修改日期: 2022 年 10 月 19 日

目录

第一章 欧氏空间中的 Plateau 问题	2
1.1 The Disk Case	2
1.2 The Annulus Case	7
1.3 The General Case	11
1.3.1 双曲几何	11

第一章 欧氏空间中的 Plateau 问题

1.1 The Disk Case

本章中, 我们回到最开始的问题:

Plateau 问题. 给定简单闭曲线 $\gamma \subset \mathbb{R}^3$, 是否存在以 γ 为边界的面积最小的曲面? 即, 寻找曲面 $\Sigma, \partial\Sigma = \gamma$, 使得对于任意满足 $\partial\Sigma' = \gamma$ 的曲面 Σ' , 都有

$$\text{Area}(\Sigma) \leq \text{Area}(\Sigma')$$

在本章, 按照 Douglas 和 Rado 的方法, 我们将给出 Plateau 问题的肯定的回答. 关于 Douglas 在 Plateau 问题上的工作的简介, 可以参考 [1].

设 $\gamma \subset \mathbb{R}^3$ 是简单闭曲线. 记

$$\mathcal{F}_\gamma = \{u \mid u \in C(\overline{\mathbb{D}}) \cap W_{loc}^{1,2}(\mathbb{D}, \mathbb{R}^3), u|_{\partial\mathbb{D}}: \partial\mathbb{D} \rightarrow \gamma \text{ 是单调映射.}\} \quad (1.1)$$

注 1.1. 称 $u|_{\partial\mathbb{D}}$ 是单调映射, 是指我们将 γ 沿任意点剪断后看作实轴上的一段线段, u 是通常意义下的单调映射. 这里之所以没有要求 u 是同胚, 是因为同胚在求极限后 (一致收敛拓扑) 不会被保持, 而单调性总是会被保持的.

解决 Plateau 问题的第一选择是: 取 $u_k \in \mathcal{F}_\gamma$ 使得 $\text{Area}(u_k(\mathbb{D})) \rightarrow \mathbb{A}_\gamma$, 并证明 $\{u_k\}$ 存在收敛子列. 然而这种思路有两个问题需要解决:

1. 我们可以改变 u_k 在任意点 p 附近的值, 得到 \tilde{u}_k , 使得 \tilde{u}_k 与 $u_k(\mathbb{D})$ 与 $u_k(\mathbb{D})$ 相差”细长”的管状区域, 如图. 这样得到的 \tilde{u}_k 仍然是面积最小的列. 但是这样的列无法在通常的意义下收敛. 如图(1.1)所示.

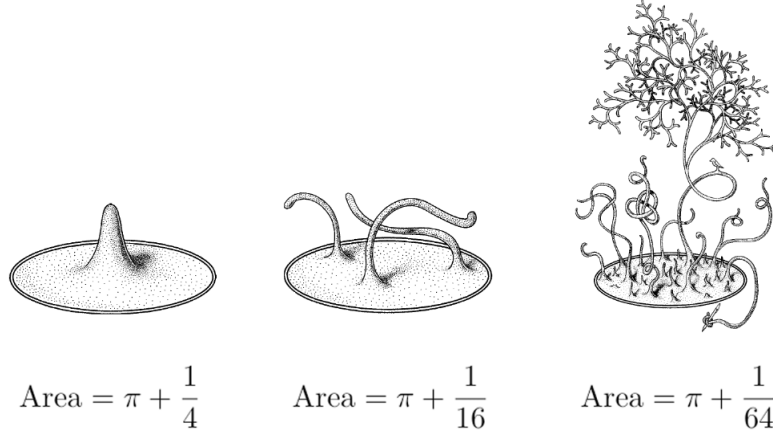


图 1.1: 面积最小列, 但是没有收敛子列. 图片取自 [2]

2. 第二个问题是面积泛函是与参数选取无关的, 这意味着选取 $\{u_k\}$ 后, 对于任意的微分同胚 $\varphi_k : \mathbb{D} \rightarrow \mathbb{D}$, $\text{Area}(u_k \circ \varphi_k(\mathbb{D})) = \text{Area}(u_k(\mathbb{D}))$. 这种情况下, 我们也很难得到收敛子列.

为了解决上面的问题, 我们将使用能量泛函而不是面积泛函. 当然, 首先我们需要说明的是, 对能量泛函求最小值和对面积泛函求最小值这两个问题是等价的 (虽然对于能量泛函, 上述两个问题仍然存在, 但是我们较好的解决该问题的方法).

定理 1.2. 设 $\gamma \subset \mathbb{R}^3$ 是可求长的 Jordan 曲线. 则存在映射 $u \in \mathcal{F}_\gamma$ 使得 $\forall v \in \mathcal{F}_\gamma$,

$$\text{Area}(u(\mathbb{D})) \leq \text{Area}(v(\mathbb{D})). \quad (1.2)$$

对于任意 $u \in \mathcal{F}_\gamma$, 其面积与能量分别定义为

$$\text{Area}(u) = \int_{\mathbb{D}} |u_x \wedge u_y| \quad (1.3)$$

$$E(u) = \frac{1}{2} \int_{\mathbb{D}} |u_x|^2 + |u_y|^2 \quad (1.4)$$

简单计算可知

$$\text{Area}(u) = \int_{\mathbb{D}} \sqrt{|u_x|^2 |u_y|^2 - \langle u_x, u_y \rangle^2} \leq \frac{1}{2} \int_{\mathbb{D}} |u_x|^2 + |u_y|^2 \leq E(u). \quad (1.5)$$

并且等号成立, 当且仅当 $|u_x| = |u_y|, \langle u_x, u_y \rangle = 0$.

记

$$\mathbb{A}_\gamma = \inf\{\text{Area}(v) \mid v \in \mathcal{F}_\gamma\}. \quad (1.6)$$

$$\mathbb{E}_\gamma = \inf\{E(v) \mid v \in \mathcal{F}_\gamma\}. \quad (1.7)$$

定义 1.3. 如果 $u \in W^{1,2}(\mathbb{D}, \mathbb{R}^3)$ 几乎处处满足 $\langle u_x, u_y \rangle = 0$ 并且 $|u_x| = |u_y|$, 则称 u 是几乎共形的.

引理 1.4. $\mathbb{A}_\gamma = \mathbb{E}_\gamma$, 并且如果 $u \in \mathcal{F}_\gamma$ 取到 \mathbb{E}_γ , 则 u 是几乎共形的.

证明. 由不等式(1.5)可知, $\mathbb{A}_\gamma \leq \mathbb{E}_\gamma$.

对于反方向的, 设 $u \in \mathcal{F}_\gamma$ 且 $\text{Area}(u) \leq \mathbb{A}_\gamma + \varepsilon$. 首先设 u 是浸入, 即 du 处处非退化. 设 (\mathbb{D}, g) 为 u 作用下的拉回度量, 即 $g = du^* dx^2$, 由等温坐标的存在性可知, 存在光滑同胚 $\varphi : \mathbb{D} \rightarrow \mathbb{D}$ 使得 φ 是 $\mathbb{D} \rightarrow (\mathbb{D}, g)$ 之间的共形映射, 即 $d\varphi^* g = \lambda^2 dx^2$. 而 $u \circ \varphi$ 是共形浸入, 则有

$$\mathbb{A}_\gamma + \varepsilon \geq \text{Area}(u) = \text{Area}(u \circ \varphi) = E(u \circ \varphi) \geq \mathbb{E}_\gamma \quad (1.8)$$

如果 du 有奇点, 那么我们定义 $u^s : \mathbb{D} \rightarrow \mathbb{R}^5$, $u^s(x, y) = (u, sx, sy) \in \mathbb{R}^5$. 则 du^s 是非退化的. 像上面一样, 通过 u^s 拉回的度量为 $du^* g_{\mathbb{R}^3} + s^2(dx^2 + dy^2)$. 显然地,

$$\text{Area}(u^s) = \int_{\mathbb{D}} \det(du^* g_{\mathbb{R}^3} + s^2 I) \rightarrow \text{Area}(u). \quad (1.9)$$

$$E(u^s \circ \varphi) = \int_{\mathbb{D}} |(u^s \circ \varphi)_x|^2 + |(u^s \circ \varphi)_y|^2 = E(u \circ \varphi) + s^2 E(\varphi). \quad (1.10)$$

因此, 当 s 足够小时, 我们有

$$\begin{aligned} \mathbb{A}_\gamma + 2\varepsilon &\geq \text{Area}(u) + \varepsilon \geq \text{Area}(u^s \circ \varphi) \\ &= E(u^s \circ \varphi) \rightarrow E(u \circ \varphi) \\ &\geq \mathbb{E}_\gamma. \end{aligned} \quad (1.11)$$

若 $E(u) = \mathbb{E}_\gamma$, 则 $E(u) = \mathbb{E}_\gamma = \mathbb{A}_\gamma \leq \text{Area}(u)$, 则 $E(u) = \text{Area}(u)$. 由不等式(1.5)可知, u 是几乎共形的. \square

引理 1.5 (Courant-Lebesgue 引理). 设 $f \in W^{1,2}(\mathbb{D}, \mathbb{R}^3)$, $E(f) \leq K$. 设 $0 < \delta < 1$, $p \in \mathbb{D}$. 则存在 $\rho \in (\delta, \sqrt{\delta})$ 使得 $f|_{\partial B(p, \rho) \cap \mathbb{D}}$ 是绝对连续的, 且 $\forall z_1, z_2 \in \partial B(p, \rho) \cap \mathbb{D}$, 成立

$$|f(z_1) - f(z_2)| \leq (8K\pi)^{\frac{1}{2}} (\log \frac{1}{\delta})^{-\frac{1}{2}}. \quad (1.12)$$

证明. 在 p 点处引入极坐标 (r, θ) . 由于 $f \in W^{1,2}$, 则几乎对于所有的 r , f 关于 θ 是绝对连续的. 则 Cauchy 不等式,

$$\begin{aligned} |f(z_1) - f(z_2)| &\leq \int_{\partial B \cap \mathbb{D}} |f_\theta(re^{i\theta})| d\theta \\ &\leq \sqrt{2\pi} \left(\int_{\partial B \cap \mathbb{D}} f_\theta^2 d\theta \right)^{\frac{1}{2}}. \end{aligned} \quad (1.13)$$

而由于在极坐标下, $Df = f_r \partial_r + \frac{1}{r^2} f_\theta \partial_\theta$, 则

$$\int_{B \cap \mathbb{D}} (f_r^2 + \frac{1}{r^2} f_\theta^2) r dr d\theta \leq 2K. \quad (1.14)$$

取 ρ 使得 $\int_{\partial B \cap \mathbb{D}} f_\theta^2(\rho e^{i\theta})$ 取到 (几乎) 最小, 则有

$$\int_\delta^{\sqrt{\delta}} \int_{\partial B \cap \mathbb{D}} \frac{1}{r^2} f_\theta^2(\rho e^{i\theta}) r d\theta dr \leq 2K. \quad (1.15)$$

因此,

$$|f(z_1) - f(z_2)| \leq \sqrt{2\pi} \frac{2K}{\int_\delta^{\sqrt{\delta}} \frac{1}{r}} = \sqrt{8K\pi} (\log \frac{1}{\delta})^{-\frac{1}{2}}. \quad (1.16)$$

□

引理 1.6. 设 $p_1, p_2, p_3 \in \partial \mathbb{D}$ 是三个不同的点. 则对于任意三个点 $\forall p'_1, p'_2, p'_3$, 存在唯一的共形同胚 $\alpha: \mathbb{D} \rightarrow \mathbb{D}$ 使得 $\alpha(p_i) = p'_i$. (假设 p_i, p'_i 在 $\partial \mathbb{D}$ 上都按逆时针排列)

证明. 见任意复分析教材. □

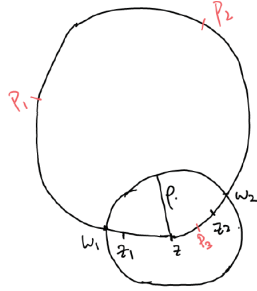
引理 1.7. 设 $\gamma \subset \mathbb{R}^3$ 长度有限, 则 $\forall \varepsilon > 0$, 存在 $\lambda > 0$ 使得 $\forall p, q \in \gamma$, 如果 $d(p, q) < \lambda$, 那么 $\gamma - \{p, q\}$ 的两条曲线中, 只有一条的直径 (作为集合的直径) 可以大于 ε .

证明. 略. □

现在, 固定三个点 $p_i \in \partial D$, $q_i \in \gamma$. 设 $K > 0$, 记

$$\mathcal{F}_\gamma^K = \{u \in \mathcal{F}_\gamma \mid E(u) \leq K, u(p_i) = q_i\}. \quad (1.17)$$

引理 1.8. $\mathcal{F}_\gamma^K|_{\partial D}$ 是等度连续的.



$|\widehat{z_1 z_2}| \leq \delta$ 取 z 的弧的中点.

由 Courant-Lebesgue 引理, $\exists \rho \in (\delta, \sqrt{\delta})$ s.t.

$$d(u(w_1), u(w_2)) \leq \sqrt{8\pi} \left(\frac{1}{\log \frac{1}{\delta}}\right)^{\frac{1}{2}} \leq \lambda$$

$w_1, w_2 = \partial B(z, \rho) \cap \partial \mathbb{D}$. 而由于 $\rho > \delta$, 则 $z_1, z_2 \subset \widehat{w_1 w_2}$.

图 1.2: 边界等度连续性

证明. 我们选取 ε 非常小, 使得 γ 中任意长度为 ε 的曲线段都至多包含 $\{q_i\}$ 中的一个点. 现在, 我们证明存在 $\delta > 0$, 使得如果 $z_1, z_2 \in \partial \mathbb{D}$, $|z_1 - z_2| \leq \delta$, 则 $\forall u \in \mathcal{F}_\gamma^K$, $|u(z_1) - u(z_2)| \leq \varepsilon$.

取 δ 使得 $(8K\pi)^{\frac{1}{2}}(\log \frac{1}{\delta})^{-\frac{1}{2}} \leq \lambda$, λ 由引理(1.7)得到. 设 $z_1, z_2 \in \partial \mathbb{D}$. 设 $|z_1 - z_2| \leq \frac{1}{\pi}\delta$, 用 $\widehat{z_1 z_2}$ 表示 $\partial \mathbb{D} - \{z_1, z_2\}$ 中较短的弧, 显然地, $|\widehat{z_1 z_2}| \leq \delta$. 只要取 δ 足够小, 就可以假设 $\widehat{z_1 z_2}$ 至多包含 $\{p_i\}$ 中的一个点. 设 z 是弧 $\widehat{z_1 z_2}$ 的中点. 由引理(1.5), 存在 $\rho \in (\delta, \sqrt{\delta})$ 使得 $\forall u \in \mathcal{F}_\gamma^K$,

$$d(u(w_1), u(w_2)) \leq (8K\pi)^{\frac{1}{2}}(\log \frac{1}{\delta})^{-\frac{1}{2}} \leq \lambda. \quad (1.18)$$

记 $\{w_1, w_2\} = \partial B(z, \rho) \cap \partial \mathbb{D}$, 那么 $u(w_1), u(w_2)$ 将 γ 分成两段, 其中较短的一段至多包含 $\{q_i\}$ 中的一个点. 那么, 这一段的原像必定是 $\widehat{w_1 w_2}$. 而由于 $\rho > \delta$, 则 $z_1, z_2 \in \widehat{w_1 w_2}$. 则 $d(u(z_1), u(z_2)) \leq \varepsilon$. \square

定理(1.2)的证明. 取 $u_k \in \mathcal{F}_\gamma$ 且 $E(u_k) \rightarrow \mathbb{E}_\gamma$. 由引理(1.6), 存在 φ_k 使得 $u_k \circ \varphi_k \in \mathcal{F}_\gamma^K$. 仍将 $u_k \circ \varphi_k$ 记为 u_k . 用与 u_k 具有相同边界的调和函数替换 u_k , 仍然记为 u_k , 由于调和函数是能量最小的, 我们仍然有 $E(u_k) \rightarrow \mathbb{E}_\gamma$. 由于 u_k 是调和的, 则

$$\max_{\mathbb{D}} |u_k - u_l| = \max_{\partial \mathbb{D}} |u_k - u_l|. \quad (1.19)$$

而根据引理(1.8), $u_k|_{\partial \mathbb{D}}$ 包含一致收敛子列, 则 u_k 包含一致收敛子列. 设 $u_k \rightarrow u$. 再选取 u_k 的子列, 使得 $u_k \xrightarrow{\text{弱} W^{1,2}} u$ 且 $u_k \xrightarrow{L^2} u$. 则由能量的下半连续性,

$$E(u) \leq \liminf E(u_k) \rightarrow \mathbb{E}_\gamma. \quad (1.20)$$

最后, 由引理(1.4), $\text{Area}(u) = E(u) = \mathbb{A}_\gamma$. \square

1.2 The Annulus Case

现在, 我们考虑复杂一点的情况. 设 $\Gamma = \gamma_1 \cup \gamma_2$ 是两条简单闭曲线的并. 是否存在以 Γ 为边界的极小曲面?

与圆盘的情况不同的是, 并不总是能找到以 Γ 为边界的极小曲面. 这里我们给出一个反例. 设 Σ 为 Catenoid, 即 $\Sigma = \{\cosh^2 z = x^2 + y^2\}$. 设 $\Sigma_a = a\Sigma$. 那么, 当 $a \rightarrow +\infty$ 时, $\Sigma_a \rightarrow \emptyset$. $a \rightarrow 0$ 时, $\Sigma_a \rightarrow 2\{z = 0, x^2 + y^2 \neq 0\}$. 简单计算易知, 存在锥体 $C_\lambda = \{x^2 + y^2 < \lambda^2 z^2\}$ 使得 $\forall \Sigma_a \cap C_\lambda = \emptyset$. 分别记 $C_\lambda^+ = C_\lambda \cap \{z > 0\}$, $C_\lambda^- = C_\lambda \cap \{z < 0\}$.

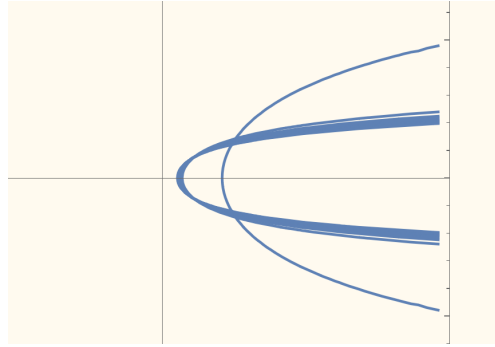


图 1.3: caption

命题 1.9. 设 $\Gamma = \gamma_1 \cup \gamma_2$, $\gamma_1 \subset C_\lambda^+$, $\gamma_2 \subset C_\lambda^-$. 则不存在以 Γ 为边界的有界连通极小曲面.

证明. 设这样的极小曲面存在, 记为 M . 显然地, $a \rightarrow 0$ 时, $\Sigma_a \cap M \neq \emptyset$. $a \rightarrow \infty$ 时, $\Sigma_a \cap M = \emptyset$. 那么存在 a 使得 Σ_a 恰好与 M 相切, 显然地这将与最大值原理矛盾. \square

在此, 我们指出, 在解决给定拓扑型的 Plateau 问题时, 我们所会碰到的核心困难在于拓扑型的退化. 如图(1.4)我们要寻找由两个圆盘围出的同胚于环面的极小曲面 (图一图二均为两个环面, 且面积变小. 图三为两个圆盘). 当我们取面积递减的曲面序列的时候, 虽然所取的每一个曲面都同胚于环面, 但是最终得到的极限却是两个圆盘. 这种现象便是拓扑型的退化. 即, 取极限后无法保证得到的曲面的拓扑是我们想要的.

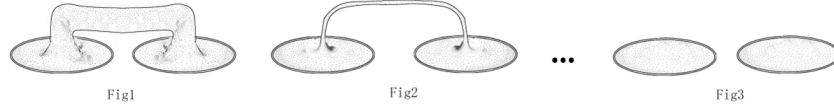


图 1.4: 拓扑型的退化

引理 1.10. 设 $\varphi : \mathbb{S}^1 \rightarrow \mathbb{R}$ 是绝对连续的, 设 $u \in C(\mathbb{D})$ 是调和函数并且 $u|_{\partial\mathbb{D}} = \varphi$. 则

$$\int_{\partial\mathbb{D}} |\nabla u|^2 dx dy \leq \int_{\mathbb{S}^1} |\varphi_\theta|^2 d\theta. \quad (1.21)$$

证明. 设 (r, θ) 是极坐标. 设 $c_n = \frac{1}{2\pi} \int_{\mathbb{S}^1} \varphi(\theta) e^{-in\theta} d\theta$. 则 u, u_r 具有展开式

$$u(r, \theta) = \sum_{-\infty}^{+\infty} c_n r^{|n|} e^{in\theta}, \quad (1.22)$$

$$u_r(r, \theta) = \sum_{-\infty}^{+\infty} c_n |n| r^{|n|-1} e^{in\theta}. \quad (1.23)$$

$$(1.24)$$

由散度定理, 并将(1.22), (1.23)代入计算可知

$$\begin{aligned} \int_{|z| \leq r} |\nabla u|^2 dx dy &= \int_{\{|z|=r\}} u u_r d\theta \\ &= 2\pi \sum_{-\infty}^{+\infty} |n| r^{2n} |c_n|^2. \end{aligned} \quad (1.25)$$

另外, 有

$$\int_{\mathbb{S}^1} |u_\theta|^2 = 2\pi \sum_{-\infty}^{+\infty} |n|^2 |c_n|^2. \quad (1.26)$$

令 $r \rightarrow 1$ 即可. □

引理 1.11. 设 $\delta < 1$. 定义

$$\eta(r) = \begin{cases} 1 & r \geq \sqrt{\delta}, \\ 1 + \frac{\log \sqrt{\delta} - \log r}{\log \sqrt{\delta}} & \delta \leq r \leq \sqrt{\delta} \\ 0 & r \leq \delta \end{cases} \quad (1.27)$$

设 $u \in W^{1,2}(\Sigma) \cap C(\Sigma)$. 定义

$$u_\delta(z) = \begin{cases} u(z) & d(u(z), p) \geq \sqrt{\delta} \\ p + \eta(d(u(z), p))(u(z) - p) & d(u(z), p) < \sqrt{\delta} \end{cases} \quad (1.28)$$

则当 $\delta \rightarrow 0$ 时, $E(u_\delta) \rightarrow E(u)$.

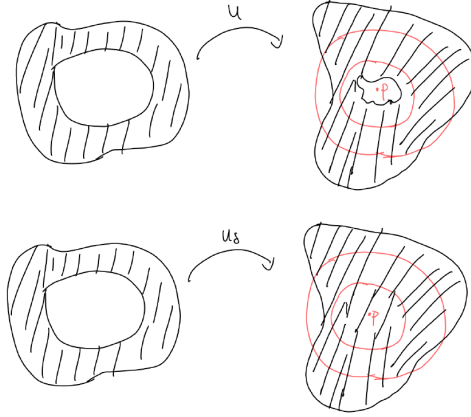


图 1.5: u_δ 填补了 u 的像中的”空洞”

定理 1.12. 设 $\Gamma = \gamma_1 \cup \gamma_2 \subset \mathbb{R}^3$ 是两条不相交的简单闭曲线的并. 设存在以 Γ 为边界的双连通曲面 M 使得

$$Area(M) < \mathbb{A}_{\gamma_{\gamma_1}} + \mathbb{A}_{\gamma_{\gamma_2}}. \quad (1.29)$$

则存在以 Γ 为边界的双连通的极小曲面.

证明. 设 $u_k : \Sigma \rightarrow \mathbb{R}^3$, $E(u_k) \rightarrow \mathbb{E}_\Gamma$. 记 $K = \mathbb{E}_\Gamma + 1 < +\infty$. 这里, $\Sigma_k = \mathbb{S} \times (0, s_k)$. 现在, 我们证明: 存在子列使得 $s_n \rightarrow s > 0$. Σ_n 上的参数记为 (θ, r) . $\theta \in \mathbb{S}^1, r \in (0, s_k)$.

断言 1: $\{s_k\}$ 有严格正的下界.

证明. 记 $d = d(\gamma_1, \gamma_2) > 0$. $\forall \theta$, 设 α 为直线 $\theta \times (0, s_k)$. 显然地, $l_{u_k(\alpha)} \geq d$. 则由 Cauchy 不等式

$$d^2 \leq \left(\int_0^{s_k} |du_k \alpha'| ds \right)^2 \leq s_k \int_0^{s_k} (\partial_\theta u_k)^2 dr. \quad (1.30)$$

于是, 有

$$\frac{2\pi d^2}{s_k} \leq \int_{\mathbb{S}^1} \int_0^{s_k} (\partial_\theta u_k)^2 dr d\theta \leq E(h) \leq K. \quad (1.31)$$

则 $s_k \geq \frac{2\pi d^2}{K}$. \diamond

断言 2: $\{s_k\}$ 有上界 (不等于 $+\infty$).

证明. 反证法. 设 $s_k \rightarrow +\infty$. 由于 $E(u_k) \leq K$, 则存在 $\rho_k \in (0, s_k)$ 使得

$$s_k \int_{\mathbb{S}^1} (\partial_\theta u_k)^2(\theta, \rho_k) d\theta \leq K. \quad (1.32)$$

则有 $\int_{\mathbb{S}^1} (\partial_\theta u_k)^2(\theta, \rho_k) d\theta \rightarrow 0$. 记 $D_{\rho_k} = \mathbb{D} \times \{\rho_k\}$. 现在以 $u_k(\rho_k, \theta)$ 为边界值, 由引理(1.10)可知, 存在函数 $f_k : \mathbb{D}_{\{\rho_k\}} \rightarrow \mathbb{R}^3$ 使得 $E(f_k) \rightarrow 0$. 现在我们定义两个新的映射:

$$\tilde{u}_k^1 : \mathbb{S}^1 \times (0, \rho_k) \cup \mathbb{D}_{\rho_k} \rightarrow \mathbb{R}^3. \quad \tilde{u}_k^1 = \begin{cases} u_k & x \in \mathbb{S}^1 \times (0, \rho_k), \\ f_k & x \in \mathbb{D}_{\rho_k}. \end{cases} \quad (1.33)$$

$$\tilde{u}_k^2 : \mathbb{S}^1 \times (\rho_k, s_k) \cup \mathbb{D}_{\rho_k} \rightarrow \mathbb{R}^3. \quad \tilde{u}_k^2 = \begin{cases} u_k & x \in \mathbb{S}^1 \times (\rho_k, s_k), \\ f_k & x \in \mathbb{D}_{\rho_k}. \end{cases} \quad (1.34)$$

则 $E(\tilde{u}_k^1) + E(\tilde{u}_k^2) \leq E(u_k) + 2E(f_k)$. 而显然地, $\tilde{u}_k^1, \tilde{u}_k^2$ 的定义域都同胚于单位圆盘. 则

$$\begin{aligned} \mathbb{A}_{\gamma_1} + \mathbb{A}_{\gamma_2} &= \mathbb{E}_{\gamma_1} + \mathbb{E}_{\gamma_2} \leq \lim E(\tilde{u}_k^1) + E(\tilde{u}_k^2) \\ &\leq \lim E(u_k) + 2E(f_k) \rightarrow \mathbb{E}_\Gamma = \mathbb{A}_\Gamma. \end{aligned} \quad (1.35)$$

这与条件(1.29)矛盾. \diamond

设 $\Sigma_k \rightarrow \Sigma = \mathbb{S}^1 \times (0, s)$. 同时, 我们可以假设 u_k 定义在 Σ 上.

断言 3: $u_k|_{\partial\Sigma}$ 是等度连续的.

证明. 我们只考虑 $u_k|_{\partial\mathbb{D}}$ 的等度连续性即可. 由引理(1.5), $\forall p \in \partial\mathbb{D}, \delta > 0$, 存在 $\rho_k \in (\delta, \sqrt{\delta})$ 使得

$$l_{u_k}(\partial B(p, \rho_k) \cap \Sigma) \leq \sqrt{8K\pi} (\log(\frac{1}{\varepsilon}))^{-\frac{1}{2}}. \quad (1.36)$$

记 $\beta = \partial B(p, \rho_k)$ 将 $\partial\mathbb{D}$ 分成两部分. 其中短的一部分记为 C' , 长的部分记为 C'' . $u_k(\beta)$ 将 γ_1 分成两部分, 其中短的记为 γ'_1 , 长的记为 γ'_2 . 由 Courant-Lebesgue 引理, 如果 $u_k(C') = \gamma'_1$, 那么 u_k 是等度连续的. 反证法. 设 $u_k(C') = \gamma'_2$. $u_k(C'' \cup \beta) = u(\beta) \cup \gamma''_1$, 而 $l_{u(\beta) \cup \gamma''_1} = \varepsilon_k \rightarrow 0$. 取 $q \in \mathbb{R}^3$ 使得 $d(q, u_k(\beta) \cup \gamma''_1) < \varepsilon_k$. 应用引理(1.11), 得到新的映射 \tilde{u}_k . ◇

□

1.3 The General Case

1.3.1 双曲几何